

СТРУКТУРА ТА МАГНЕТОРЕЗИСТИВНІ ВЛАСТИВОСТІ ПОЛІКРИСТАЛІЧНИХ ЗРАЗКІВ $(La_{1-y}Nd_y)_{1-x}Sr_xMnO_3$

О.І. ТОВСТОЛІТКІН, О.І. В'ЮНОВ¹, К.П. ДАНІЛЬЧЕНКО¹,
А.Г. БІЛОУС¹

УДК 537.6;538.212;538.22

© 2004 р.

Інститут магнетизму НАН України
(Просп. Академіка Вернадського, 36б, Київ 03142; e-mail: atov@imag.kiev.ua),

¹Інститут загальної та неорганічної хімії НАН України
(Просп. Академіка Палладіна, 32/34, Київ 03142)

Досліджено структурні, електричні та магнеторезистивні властивості полікристалічних зразків $(La_{1-y}Nd_y)_{1-x}Sr_xMnO_3$ ($y = 0 \div 1$; $x = 0, 15 \div 0, 3$). Електричні вимірювання проводили у температурному діапазоні 77–370 К, магнетоопір вимірювали в полях до 15 кЕ. Показано, що заміщення лантану неодимом приводить до суттєвого підвищення магнетоопору і зниження температури, при якій магнетоопір має максимум. Виявлено, що основні зміни в положенні піків на температурних залежностях електро- та магнетоопору відбуваються в інтервалі $0 \leq y \leq 0,25$, що корелює з характером зміни структурних параметрів. Особливості поведінки зразків $(La_{1-y}Nd_y)_{1-x}Sr_xMnO_3$ поблизу $y = 0,25$ пов'язуються з утворенням структурно- і магнітно-неоднорідного стану.

Вступ

Підвищений інтерес до заміщених мanganітів зі структурою деформованого первовскіту $La_{1-x}M_xMnO_3$ (M — лужноземельний елемент) пов'язаний із сильною чутливістю їх електричних властивостей до магнітного поля (колосальний магнеторезистивний ефект), що робить такий клас матеріалів перспективним для використання в пристроях магнітоелектроніки [1, 2]. Однак у більшості випадків значні зміни електричного опору досягаються лише в сильних полях або в області низьких температур, що серйозно обмежує можливості практичного застосування. Як випливає із досліджень останніх років, заміщення в лантановій або марганцевій підгратках можуть служити ефективним інструментом впливу як на величину магнеторезистивного ефекту, так і на область температур, в межах якої цей ефект максимальний [3, 4].

Магнеторезистивний ефект в сполуках $La_{1-x}M_xMnO_3$ є результатом конкуренції різних видів взаємодії між іонами марганцю. Вихідна сполука $LaMnO_3$ є антиферомагнітним діелектриком, в якому іони марганцю трикратно іонізовані і мають електронну конфігурацію $t_{2g}^3e_g^1$ [5, 6]. Три електрони, які знаходяться на нижньому рівні (t_{2g}),

зв'язані сильною внутрішньою (кореляційною) обмінною взаємодією і поводять себе як окремий локалізований спін ($S = 3/2$). На відміну від нижнього рівня, e_g -рівень марганцю сильно гібридизований з $2p$ -рівнем кисню, тому електрони, що перебувають на ньому, мають можливість рухатись між сусідніми вузлами марганцю. Відхиленні ступеня заповнення e_g -рівня від одиниці (при заміщенні La на одночі двовалентні елементи або при зміні вмісту кисню) приводить до суттєвої зміни магнітного стану і провідності заміщених мanganів — ці матеріали стають високопровідними феромагнетиками [1, 2, 5, 6].

Теоретичний аналіз причин сильного взаємозв'язку магнетизму і провідності в заміщених мanganітах вперше виконав Зенер [7]. Він розглядав перенос e_g -електрона між іонами марганцю в ланцюзі $Mn^{3+}-O-Mn^{4+}$ при паралельній і антипаралельній орієнтації їх спінів і показав, що в першому випадку реалізація такого процесу може приводити до зниження вільної енергії системи, а в другому — є енергетично не вигідною. Такий висновок базується на припущеннях про збереження орієнтації спіну електрона при переносі від одного катіона до іншого і на вимозі існування досить сильної кореляційної взаємодії, яка стабілізує орієнтацію спіну перенесеного електрона по відношенню до спінів катіонів у відповідності з правилами Хунда. У результаті між магнітними моментами обох катіонів виникає ефективний зв'язок, який еквівалентний обмінній взаємодії. Оскільки перенос електрона є послідовністю двох процесів, перший з яких відповідає передачі p -електрона кисню до Mn^{4+} , а другий — переходу d -електрона Mn^{3+} на його місце, результатуючий зв'язок був названий подвійним обміном. Домінування подвійного обміну над іншими видами взаємодії (електрон-фононною взаємодією, антиферомагнітним надобміном, зарядовим впорядкуванням та ін.) сприяє делокалізації носіїв заряду і встановленню феромагнітного впорядкування [5, 6, 8].

Наявність структурних деформацій в $\text{La}_{1-x}\text{M}_x\text{MnO}_3$ впливає не тільки на ефективний інтеграл переносу e_g електронів, змінюючи енергію подвійного обміну, але й модифікує ієархію інших взаємодій, що в результаті може привести до значного ускладнення магнітної структури [3–6]. В роботах [3, 4] було досліджено вплив заміщень лантану на інші рідкіснометальні елементи і виявлено, що зменшення середнього радіуса іона у лантановій підгратці приводить до зниження температури магнітного переходу і суттєвого збільшення магнеторезистивного ефекту. Пізніші роботи показали, що важливу роль у вищезазначених ефектах відіграють також локальні деформації кристалічної гратки поблизу іонів з різним радіусом [6, 9, 10].

До цього часу вивчення впливу заміщень лантану неодимом на структуру, магнетизм і електропровідність головним чином проводилося в зразках систем $\text{La}_{1-x}\text{Ca}_x\text{MnO}_3$ [4, 10–12], $\text{La}_{1-x}\text{Ba}_x\text{MnO}_3$ [13] і лише частково в $\text{La}_{1-x}\text{Sr}_x\text{MnO}_3$ [13–16].

Метою даної роботи є вивчення взаємозв'язку структурних, електричних і магнеторезистивних властивостей в зразках системи $(\text{La}_{1-y}\text{Nd}_y)_{1-x}\text{Sr}_x\text{MnO}_3$ в широкому інтервалі концентрацій стронцію ($x = 0,15 \div 0,3$) і неодиму ($y = 0 \div 1$).

Експеримент

Синтез первоскітоподібних зразків $(\text{La}_{1-y}\text{Nd}_y)_{1-x}\text{Sr}_x\text{MnO}_3$ проводили на повітрі методом твердофазних реакцій. Як вихідні реагенти використовували ретельно висушенні La_2O_3 , Nd_2O_3 , Mn_2O_3 та SrCO_3 , взяті у відповідних пропорціях. Гомогенізуючий помел здійснювали в кульовому млині з бідистильованою водою. Отриману шихту випаровували, додатково сушили при температурі 100–120 °C і пропускали крізь капронове сито. Гомогеніза-

Т а б л и ц я 1. Хімічний склад синтезованих зразків $(\text{La}_{1-y}\text{Nd}_y)_{1-x}\text{Sr}_x\text{MnO}_3$

Зразок	Хімічний склад
Nd ₀₁	(La _{0,75} Nd _{0,25}) _{0,85} Sr _{0,15} MnO ₃
Nd ₀₂	(La _{0,5} Nd _{0,5}) _{0,85} Sr _{0,15} MnO ₃
Nd ₀₃	(La _{0,25} Nd _{0,75}) _{0,85} Sr _{0,15} MnO ₃
Nd ₀₄	(La ₀ Nd ₁) _{0,85} Sr _{0,15} MnO ₃
Nd ₀₅	(La _{0,75} Nd _{0,25}) _{0,8} Sr _{0,2} MnO ₃
Nd ₀₆	(La _{0,5} Nd _{0,5}) _{0,8} Sr _{0,2} MnO ₃
Nd ₀₇	(La _{0,25} Nd _{0,75}) _{0,8} Sr _{0,2} MnO ₃
Nd ₀₈	(La ₀ Nd ₁) _{0,8} Sr _{0,2} MnO ₃
Nd ₀₉	(La _{0,75} Nd _{0,25}) _{0,7} Sr _{0,3} MnO ₃
Nd ₁₀	(La _{0,5} Nd _{0,5}) _{0,7} Sr _{0,3} MnO ₃
Nd ₁₁	(La _{0,25} Nd _{0,75}) _{0,7} Sr _{0,3} MnO ₃
Nd ₁₂	(La ₀ Nd ₁) _{0,7} Sr _{0,3} MnO ₃

ну суміш відпаливали дві години при температурі 1050 °C. Після помелу та пресування в таблетки, заготовки спікали дві години при 1300 °C. Спеченні зразки повільно охолоджували до кімнатної температури. Однофазність синтезованих зразків підтверджена рентгенівським структурним аналізом. У даній роботі досліджували властивості трьох серій зразків (з $x = 0,15, 0,2$ і $0,3$), хімічний склад яких наведено у табл. 1.

Рентгенівські дослідження проводили на дифрактометрі ДРОН-3М (СиК α -випромінювання). Для рентгенофазового аналізу використовували базу даних JCPDS. Уточнення структурних параметрів і кількісний фазовий аналіз проводили методом повнопрофільного аналізу Рітвельда з використанням комп’ютерної програми “FullProf”. Зйомку дифрактограм проводили в інтервалі кутів $2\Theta = 10 \div 150^\circ$ у дискретному режимі з кроком $\Delta 2\Theta = 0,02^\circ$ і експозицією у кожній точці 10 с. Як зовнішні стандарти використовували SiO_2 (стандарт 2Θ) і NIST SRM1976 — Al_2O_3 (сертифікований стандарт інтенсивності). Вимірювання електроопору проводили чотириконтактним методом в температурному інтервалі 77–370 К. Зразки для вимірювань були вирізані в формі прямокутних паралелепіпедів розмірами $2 \times 3 \times 10$ мм. Контакти формували шляхом нанесення та відпаливання срібної пасті. Магнетоопір (MR) вимірювали в полях до 15 кЕ і визначали як $(R - R_H)/R$, де R — електричний опір зразка в нульовому, а R_H — у прикладеному зовнішньому магнітному полі H .

Результати та їх обговорення

Рентгенографічні дослідження показали, що зразки $(\text{La}_{1-y}\text{Nd}_y)_{1-x}\text{Sr}_x\text{MnO}_3$, які вивчалися в даній роботі, мають ромбоедрично деформовану структуру первоскіту (просторова група $R\bar{3}c$). Структурні параметри, уточнені з використанням повнопрофільного аналізу Рітвельда, наведено у табл. 2. У межах кожної серії зразків об’єм елементарної комірки V зменшується при заміщенні La^{3+} (іонний радіус лантану $R_{\text{La}}^i = 1,061$ Å для найближчого оточення з координаційним числом 6) на менший іон неодиму ($R_{\text{Nd}}^i = 0,995$ Å). Залежність $V(y)$ є майже лінійною (рис. 1), що корелює з результатами, одержаними при заміщенні лантану неодимом в сполуці $\text{La}_{2/3}\text{Ca}_{1/3}\text{MnO}_3$ [10]. Зсув координати кисню x_O монотонно змінюється із збільшенням y , проте на кривій $x_O(y)$ спочатку спостерігається значний спад (при збільшенні y від 0 до 0,25), і лише потім зміна стає

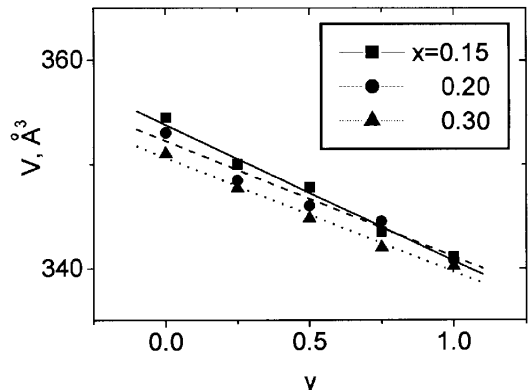


Рис. 1. Залежність об'єму елементарної комірки $(La_{1-y}Nd_y)_{1-x}Sr_xMnO_3$ від концентрації неодиму

повільнішою (рис. 2, a). Сильніші зміни в області малих концентрацій неодиму ($0 \leq y \leq 0,25$) характерні й для концентраційної залежності c/a (рис. 2, b) — параметра, який характеризує ступінь ромбоедричної деформації структури первовскіту [17].

Відомо, що первовскітна комірка, будучи досить шільнопакованою, накладає досить жорсткі вимоги на іонні радіуси елементів, які в неї входять [5, 6]. Хоча область стійкості первовскітної структури з хімічною формулою ABO_3 визначається співвідношенням між середніми значеннями R_A^i і R_B^i , наявність в підгратках А або В елементів з різними іонними радіусами приводить до появи значних локальних деформацій. Враховуючи, що $R_{Nd^{3+}}^i$ відрізняється від $R_{La^{3+}}^i$, а ще більше від $R_{Sr^{2+}}^i$, збільшення вмісту неодиму повинно приводити до збільшення ступеня неоднорідності на локальному рівні. Беручи до уваги сильну чутливість електричних і магнітних властивостей мanganітів як до середніх значень структурних параметрів, так і до ступеня локальних деформацій та напружень [3–6], слід очікувати суттєвих змін в електричній і магнеторезистивній поведінці зразків при зміні концентрації неодиму, особливо при збільшенні y від 0 до 0,25.

Одним із ключових параметрів, які визначають фізичні властивості і вид магнітного впорядкування в Sr-заміщених мanganітах лантану, є концентрація Sr. Згідно з літературними даними [6, 19] $La_{1-x}Sr_xMnO_3$ ($0,15 < x \leq 0,30$) в основному (низькотемпературному) стані є феромагнетиком з металічним характером провідності ($dR/dT > 0$). У парамагнітному стані провідність має активаційний характер ($dR/dT < 0$), тому крива $R(T)$ має максимум поблизу температури магнітного переходу. Температура переходу парамагнетик/феромагнетик (T_C) залежить від концентрації Sr і при збільшенні x змінюється від 230 K ($x = 0,15$)

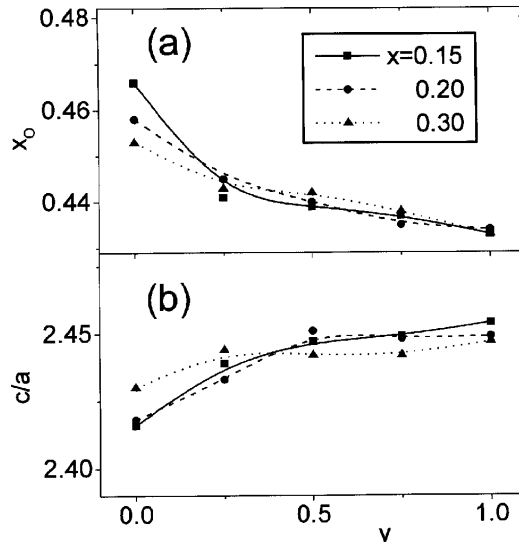


Рис. 2. Залежності координати кисню x_O (a) і відношення параметрів ромбоедричної гратки c/a (b) від вмісту неодиму для зразків $(La_{1-y}Nd_y)_{1-x}Sr_xMnO_3$

до 370 K ($x = 0,30$) [6]. Прикладання зовнішнього магнітного поля H зменшує електричний опір зразка, що приводить до появи магнеторезистивного ефекту. Магнетоопір MR монокристалічних зразків заміщених мanganітів має максимум поблизу температури Кюрі і зменшується при відхиленні температури від T_C [19]. В полікристалах (кераміці) в низькотемпературній області ($T < T_C$) проявляється додатковий внесок, який монотонно зростає зі зниженням температури. Появу додаткового внеску пов'язують із спін-залежним розсіюванням носіїв заряду у міжзеренній області [20] або спін-поляризованим тунелюванням крізь міжзеренні межі [21].

Електричні та магнеторезистивні властивості зразків $La_{1-x}Sr_xMnO_3$ з $x = 0,15; 0,20$ і $0,30$, які

Т а б л и ц я 2. Структурні параметри мanganітів $(La_{1-y}Nd_y)_{1-x}Sr_xMnO_3$

Зразок	Параметри елементарної комірки			Фактори вірогідності	
	a , Å	c , Å	V , Å³	R_b , %	R_f , %
Nd01	5,4881(7)	13,390(2)	349,26(7)	7,5	8,3
Nd02	5,4745(9)	13,398(2)	347,8(1)	8,5	9,9
Nd03	5,451(1)	13,350(3)	343,5(1)	8,8	10,85
Nd04	5,434(1)	13,338(3)	341,1(1)	10,95	10,45
Nd05	5,4881(7)	13,358(1)	348,42(8)	7,05	7,4
Nd06	5,4602(9)	13,402(3)	346,0(1)	8,0	8,55
Nd07	5,4594(9)	13,368(2)	345,1(1)	8,0	10,1
Nd08	5,436(1)	13,318(3)	340,8(1)	10,35	10,5
Nd09	5,4341(8)	13,318(3)	347,71(9)	10,7	10,9
Nd10	5,463(1)	13,342(4)	344,8(2)	8,0	7,25
Nd11	5,4475(9)	13,308(3)	342,0(1)	9,9	10,45
Nd12	5,438(1)	13,309(3)	340,9(1)	8,75	10,75

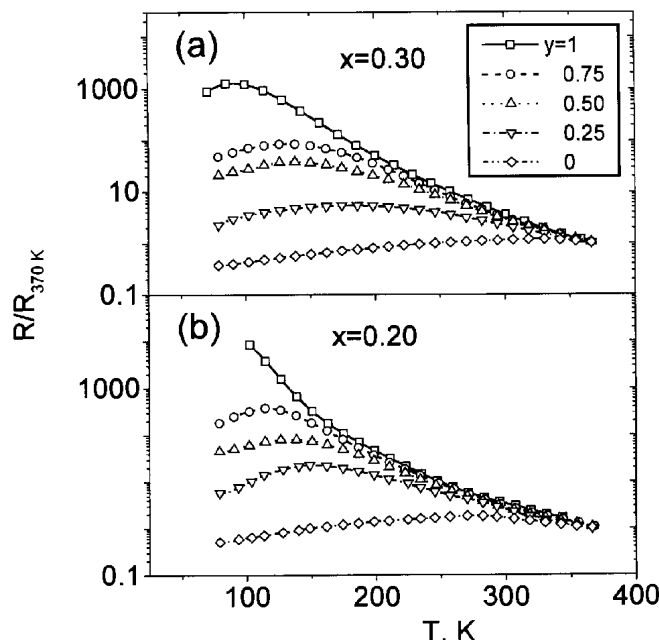


Рис. 3. Температурні залежності нормованого електроопору зразків $(\text{La}_{1-y}\text{Nd}_y)_{1-x}\text{Sr}_x\text{MnO}_3$

використовували як вихідні для вивчення впливу заміщення лантану неодимом в даній роботі, були детально проаналізовані в [17, 22]. У всьому дослідженному діапазоні концентрацій Sr характер температурних залежностей електричного опору $R(T)$ подібний до того, що спостерігається в монокристалах $\text{La}_{1-x}\text{Sr}_x\text{MnO}_3$ [19]. Криві $R(T)$ мають максимум, температура якого (T_R) підвищується із збільшенням x . Для всіх x величина T_R на 10–15 K нижча, ніж у монокристалічних зразках, що, очевидно, пов'язано з незначним відхиленням вмісту кисню від стехіометричного значення [22].

На рис. 3 наведені температурні залежності нормованого електроопору ($R/R_{370K}(T)$) для $(\text{La}_{1-y}\text{Nd}_y)_{1-x}\text{Sr}_x\text{MnO}_3$ з $x = 0,20$ і $0,30$ (R_{370K} – електричний опір при температурі 370 K). В обох серіях зразків збільшення вмісту неодиму приводить до суттєвого зниження T_R . Так, повна заміна лантану неодимом у зразках із $x = 0,30$ зменшує T_R з 330 до 92 K, а в зразках із $x = 0,20$ – з 276 до 80 K. У зразках третьої серії ($x = 0,15$) вже при $y = 0,5$ положення піка близьке до 77 K, а при $y > 0,5$ T_R , очевидно, нижча за 77 K.

На рис. 4 показані температурні залежності магнетоопору $MR(T)$, одержані в магнітному полі $H = 15$ kE, для зразків $(\text{La}_{1-y}\text{Nd}_y)_{0,70}\text{Sr}_{0,30}\text{MnO}_3$. При кімнатній температурі помітний магнеторезистивний ефект ($MR \sim 10\%$) спостерігається лише в зразку без

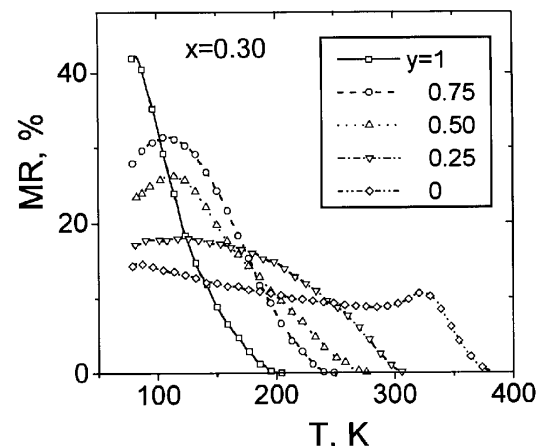


Рис. 4. Залежності від температури магнетоопору зразків $(\text{La}_{1-y}\text{Nd}_y)_{0,70}\text{Sr}_{0,30}\text{MnO}_3$

неодиму. Заміщення 25 % (тут і далі вміст – атомний) лантану на неодим приводить як до сильного зменшення температури, при якій магнетоопір має максимум (T_{MR}), так і до зміни виду кривої $MR(T)$. У той час як для зразка $\text{La}_{0,70}\text{Sr}_{0,30}\text{MnO}_3$ інтервал температур ΔT , в межах якого при зниженні температури MR змінюється від 0 до пікового значення, становить 55 K, для зразка з $y = 0,25$ він значно більший – $\Delta T \approx 180$ K. При подальшому збільшенні вмісту неодиму ΔT знову зменшується і при повному заміщенні лантану на неодим дорівнює 110 K. Подібний характер зміни поведінки магнетоопору при зміні концентрації неодиму спостерігається і в інших серіях зразків.

На рис. 5 показані залежності T_{MR} і максимального значення магнетоопору MR_{max} від концентрації неодиму. Для кожної з серій зразків $(\text{La}_{1-y}\text{Nd}_y)_{1-x}\text{Sr}_x\text{MnO}_3$ повне заміщення лантану на неодим приводить до зниження T_{MR} в 1,5 – 2 рази і підвищення MR_{max} в 2–4,5 раза. Основний ріст максимального значення магнетоопору відбувається при $y > 0,25$. T_{MR} , навпаки, слабко залежить від концентрації неодиму в області великих значень y і сильно зменшується при зміні y від 0 до 0,25, що корелює із характером зміни структурних параметрів (див. рис. 2).

Подібна поведінка T_{MR} величин і MR_{max} спостерігалась при заміщенні лантану іншими рідкісноземельними елементами в системах $\text{La}_{1-x}\text{M}_x\text{MnO}_3$ ($\text{M} = \text{Sr}, \text{Ca}$) [10–14]. Вище відмічалось, що магнітоактивними іонами в заміщених манганітах є іони марганцю, які взаємодіють між собою за участь аніонів кисню. Заміщення в лантановій підгратці впливають на

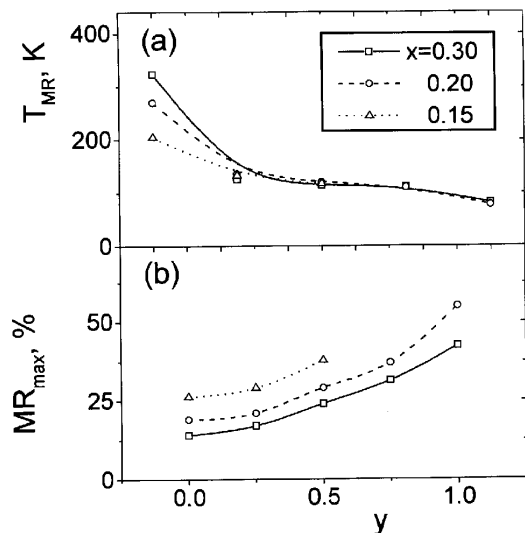


Рис. 5. Концентраційні залежності температури максимуму (а) і максимального значення магнетоопору (б)

ступінь взаємодії шляхом зміни локальних напружень і деформацій. Для ідеальної перовскітної структури ABO_3 закони кристалічної симетрії накладають жорсткі обмеження на іонні радіуси і відстань між сусідніми іонами: $d_{\text{A}-\text{O}}/d_{\text{B}-\text{O}} = \sqrt{2}$ [5, 6]. Щоб зберегти це співвідношення близьким до $\sqrt{2}$, у неідеальній перовскітній комірці виникають напруження, а рівновага в системі досягається шляхом утворення локальних деформацій. Наявність таких деформацій впливає як на міжіонну відстань, так і на ступінь відхилення кута від 180° у ланцюзі $\text{B}-\text{O}-\text{B}$ (для ідеальної перовскітної комірки кут $\text{B}-\text{O}-\text{B}$ дорівнює 180°). У заміщених манганитах ($\text{B} = \text{Mn}$) збільшення ступеня локальних спотворень шляхом заміщення частини іонів лантану на неодим приводить до зменшення перекривання електронних орбіталей сусідніх іонів, а отже — до ослаблення обмінної взаємодії між іонами марганцю. У нашому випадку загальний характер залежностей $T_{MR}(y)$ і $MR_{max}(y)$ узгоджується з таким поясненням, проте деталі потребують окремої дискусії.

У роботі [10], яка присвячена вивченю властивостей об'ємних зразків системи $\text{La}_{(2-z)/3}\text{Nd}_{z/3}\text{Ca}_{1/3}\text{MnO}_3$, було виявлено аномальну поведінку зразків із $z \sim 1$, тобто зразків, в яких близько 50 % лантану заміщено неодимом. Комплексний аналіз структурних, електрических, магнітних і магнеторезистивних властивостей дозволив авторам зробити висновок, що в околі значення $z = 1$ стійкою є структура, в якій розподіл атомів Nd по об'єму зразка не є рівномірним. Такі зразки містять області, одні з яких збагачені La, а інші — Nd, і є структурно

і магнітно неоднорідними. У цьому випадку на температурних залежностях магнітної сприйнятливості спостерігаються два піки, положення яких близьке до відповідних температур магнітного переходу в $\text{Nd}_{2/3}\text{Ca}_{1/3}\text{MnO}_3$ (T_{Nd}) і $\text{La}_{2/3}\text{Ca}_{1/3}\text{MnO}_3$ (T_{La}). Криві $R(T)$ і $MR(T)$ мають один широкий пік в області температур між T_{Nd} і T_{La} . На нашу думку, схожість властивостей зразків, синтезованих нами, і досліджених в роботі [10] є результатом виникнення подібного неоднорідного стану в $(\text{La}_{1-y}\text{Nd}_y)_{1-x}\text{Sr}_x\text{MnO}_3$, зокрема, поблизу $y = 0,25$. Причиною виникнення такого виду неоднорідності автори роботи [10], вважають різний характер деформації гратки поблизу іонів La^{3+} та Nd^{3+} і взаємодію деформаційних полів між собою.

Таким чином, у даній роботі досліджено структурні, електричні і магнеторезистивні властивості зразків системи $(\text{La}_{1-y}\text{Nd}_y)_{1-x}\text{Sr}_x\text{MnO}_3$ в широкому інтервалі концентрацій стронцію ($x = 0,15 \div 0,3$) і неодиму ($y = 0 \div 1$). Показано, що залежність об'єму елементарної комірки від концентрації неодиму близька до лінійної у всьому діапазоні значень y . Основні зміни інших структурних параметрів — координати кисню x_0 і відношення розмірів елементарної комірки c/a — відбуваються в діапазоні $0 \leq y \leq 0,25$. Встановлено кореляцію між характером зміни структурних параметрів x_0 та c/a , з одного боку, і температур T_R та T_{MR} , при яких на кривих $R(T)$ і $MR(T)$ спостерігається максимум, з іншого. Наведено дані, які свідчать про утворення структурно- і магнітно-неоднорідного стану в зразках зі значенням y близько 0,25.

Робота виконана за часткової підтримки НТЦУ, проект №1086.

1. Von Helmolt R., Wecker J., Samwer K. et al. // J. Appl. Phys. — 1994. — **76**, N 10. — P. 6925—6928.
2. Jin S., Tiefel T.H., McCormack M. et al. // Science. — 1994. — **264**, N 5157. — P. 413—415.
3. Hwang H.Y., Cheong S.-W., Radaelli P.G. et al. // Phys. Rev. Lett. — 1995. — **75**, N 5. — P. 914—917.
4. Sun J.R., Rao G.H., Liang J.K. // Appl. Phys. Lett. — 1997. — **70**, N 14. — P. 1900—1902.
5. Lektev V.M., Pogorelov Yu.G. // Low Temp. Phys. — 2000. — **26**, N 3. — P. 171—193.
6. Haghiri-Gosnet A.-M., Renard J.-P. // J. Phys. D: Appl. Phys. — 2003. — **36**, N 8. — P. R127—R150.
7. Zener C. // Phys. Rev. — 1951. — **82**, N 3. — P. 403—405.
8. Millis A.J., Shraiman B.I., and Mueller R. // Phys. Rev. Lett. — 1996. — **77**, N 1. — P. 175—178.

9. Rodriguez-Martinez L.M., Attfield J.P. // Phys. Rev. B.—1996.— **54**, N 22.— P.15622—15625.
10. Rao G.H., Sun J.R., Liang J.K., Zhou W.Y. // Ibid.—1997.— **55**, N 6.— P.3742—3748.
11. Poddar A., Murugaraj P., Fisher R. et al. // Physica B.—1998.— **254**, N 1.— P.21—27.
12. Rao G.H., Sun J.R., Liang J.K. et al. // Appl. Phys. Lett.—1996.— **69**, N 3.— P.424—426.
13. Pierre J., Nossou A., Vassiliev V., Ustinov V. // Phys. Lett. A.—1998.— **250**, N 4—6.— P.435—438.
14. Moritomo Y., Akimoto T., Nakamura A. et. al. // Phys. Rev. B.—1998.— **58**, N 9.— P.5544—5549.
15. Xiong G.C., Li Q., Ju H.L. et al. // Appl. Phys. Lett.—1995.— **67**, N 20.— P.3031—3032.
16. Абрамович А.И., Королева Л.И., Мичурин А.В. и др. // ФТТ.— 2002.— **44**, вып. 5.— С.888—892.
17. Xiong G.C., Li Q., Ju H.L. et al. // Appl. Phys. Lett.—1995.— **67**, N 20.— P.3031—3032.
18. Белоус А. Г., Вьюнов О. И., Пашкова Е. В. и др. // Неорг. материалы.— 2003.— **39**, №2.— С.212—222.
19. Urushibara A., Moritomo Y., Arima T. et. al. // Phys. Rev. B.—1995.— **51**, N 20.— P.14103—14109.
20. Gupta A., Gong G.Q., Xiao G. et. al. // Ibid.—1996.— **54**, N 22.— P.15629—15634.
21. Gross R., Alff L., Büchner B. et. al. // J. Magn. Magn. Mater.—2000.— **211**, N 2.— P.150—155.
22. Bar'yakhtar V.G., Pogorilyi A.N., Belous N.A., Tovstolytkin A.I. // Ibid.—1999.— **207**, N 1—3.— P.118—120.

Одержано 30.12.03

**СТРУКТУРА И МАГНИТОРЕЗИСТИВНЫЕ СВОЙСТВА
ПОЛИКРИСТАЛЛИЧЕСКИХ ОБРАЗЦОВ
 $(La_{1-y}Nd_y)_{1-x}Sr_xMnO_3$**

*А.И. Товстолыткин, О.И. Вьюнов, К.П. Данильченко,
А.Г. Белоус*

Р е з ю м е

Исследованы структурные, электрические и магниторезистивные свойства поликристаллических образцов

$(La_{1-y}Nd_y)_{1-x}Sr_xMnO_3$ ($y = 0 \div 1$; $x = 0,15 \div 0,3$). Электрические измерение проводили в температурном диапазоне 77—370 K, магнитосопротивление измеряли в полях до 15 кЭ. Показано, что замещение лантана неодимом приводит к существенному повышению магнитосопротивления и понижению температуры, при которой магнитосопротивление имеет максимум. Обнаружено, что главные изменения в положении пиков на температурных зависимостях электро- и магнитосопротивления происходят в интервале $0 \leq y \leq 0,25$, что коррелирует с характером изменения структурных параметров. Особенности поведения образцов $(La_{1-y}Nd_y)_{1-x}Sr_xMnO_3$ вблизи $y = 0,25$ связываются с образованием структурно- и магнитно-неоднородного состояния.

**STRUCTURE AND MAGNETORESISTANCE PROPERTIES
OF $(La_{1-y}Nd_y)_{1-x}Sr_xMnO_3$ POLYCRYSTALLINE
SPECIMENS**

*A.I. Tovstolytkin, O.I. V'yunov¹, K.P. Danil'chenko¹,
A.G. Belous¹*

Institute of Magnetism, Nat. Acad. Sci. of Ukraine
(36b, Academician Vernadskii Blvd., Kyiv 03142, Ukraine;
e-mail: atov@imag.kiev.ua),

¹Institute of General and Inorganic Chemistry,
Nat. Acad. Sci. of Ukraine
(32/34, Academician Palladina Blvd., Kyiv 03142, Ukraine)

S u m m a r y

Structure, electric and magnetoresistance properties of $(La_{1-y}Nd_y)_{1-x}Sr_xMnO_3$ ($y = 0 \div 1$; $x = 0,15 \div 0,3$) polycrystalline specimens are studied. Electric measurements are performed in the temperature range 77—370 K, magnetoresistance is measured in fields up to 15 kOe. It is revealed that a substitution of neodymium for lanthanum leads to a substantial increase in magnetoresistance and a decrease in the temperature, at which magnetoresistance displays a maximum. The principal changes in positions of the peaks on the temperature dependences of electro- and magnetoresistance are shown to occur within the range $0 \leq y \leq 0,25$, which correlates with the character of a change of structural parameters. The evidence is presented for that the peculiarities of the behavior of $(La_{1-y}Nd_y)_{1-x}Sr_xMnO_3$ specimens near $y = 0,25$ are associated with the appearance of a structurally and magnetically inhomogeneous state.